

01;07

**Влияние непараболичности
энергетического спектра носителей
заряда на оптические характеристики
гетероструктур с глубокими квантовыми
ямами $\text{AlSb/InAs}_{0.84}\text{Sb}_{0.16}/\text{AlSb}$**

© Н.В. Павлов, Г.Г. Зебря

Физико-технический институт им. А.Ф. Иоффе РАН, Санкт-Петербург
E-mail: pavlovnv@mail.ru

Поступило в Редакцию 27 апреля 2014 г.

Исследованы оптические характеристики гетероструктур с глубокими квантовыми ямами на примере структуры состава $\text{AlSb/InAs}_{0.84}\text{Sb}_{0.16}/\text{AlSb}$ с учетом непараболичности энергетического спектра носителей заряда в рамках четырехзонной модели Кейна. Показано, что учет эффекта непараболичности слабо влияет на интеграл перекрытия между s - и p -состояниями, однако приводит к значительному увеличению величины плотности состояний в зоне проводимости, что становится причиной существенного роста коэффициента поглощения излучения.

Гетероструктуры с глубокими квантовыми ямами на основе твердых растворов InAsSb в качестве активной области являются одними из наиболее актуальных материалов инфракрасной оптоэлектроники [1,2]. Эти соединения характеризуются минимальными значениями ширины запрещенной зоны и эффективной массы электронов среди полупроводников A_3B_5 [3,4], что является причиной существенной непараболичности энергетического спектра носителей заряда, влияние которой приводит к значительным поправкам к энергии уровней размерного

квантования по сравнению с параболическим законом дисперсии даже для основного состояния в зоне проводимости.

Целью настоящей работы является расчет коэффициента поглощения и скорости излучательной рекомбинации для межзонных оптических переходов между различными подзонами размерного квантования с учетом и без учета непараболичности энергетического спектра носителей заряда в гетероструктуре с глубокой квантовой ямой $\text{AlSb/InAs}_{0.84}\text{Sb}_{0.16}/\text{AlSb}$. Учет непараболичности энергетического спектра носителей заряда производился в рамках четырехзонной модели Кейна.

При расчетах мы будем использовать волновые функции электронов и тяжелых дырок вида $\psi = \Psi_s|s\rangle + \Psi|p\rangle$, полученные в работе [5], где $|s\rangle$ и $|p\rangle$ — блоховские функции s - и p -типа, Ψ_s и Ψ — спиноры. Для легких дырок будем использовать волновые функции, полученные из кейновских уравнений [5] с учетом предположения малости членов $\frac{\hbar^2}{2m_0}(\gamma_1 + 4\gamma_2)\nabla(\nabla\Psi)$ и $\frac{\hbar^2}{2m_0}(\gamma_1 - 2\gamma_2)\nabla \times (\nabla \times \Psi)$ по сравнению с $(E_g + \delta - E)\Psi$, что равносильно приближению $\frac{m_c}{m_0} \ll 1$, где m_0 — масса свободного электрона, γ_1 и γ_2 — обобщенные параметры Латтинжера, $\delta = \Delta_{s0}/3$ — константа спин-орбитального расщепления, m_c и m_h — эффективные массы электронов и тяжелых дырок соответственно.

Энергетические спектры носителей заряда без учета непараболичности будут выглядеть следующим образом:

$$E_c = \frac{\hbar^2(k_c^2 + q^2)}{2m_c}, \quad (1a)$$

$$E_{hh} = -E_g - \frac{\hbar^2(k_h^2 + q^2)}{2m_h}, \quad (1b)$$

$$E_{lh} = -E_g - \frac{\hbar^2(k_l^2 + q^2)}{2m_l}, \quad (1c)$$

где E_c, E_{hh}, E_{lh} — энергия электронов, тяжелых и легких дырок соответственно, отсчитанная от дна зоны проводимости, k_c, k_h, k_l — квантованные компоненты волновых векторов электронов, тяжелых и легких дырок соответственно, m_l — эффективная масса легких дырок, q — компонента волнового вектора в плоскости квантовой ямы.

Энергетический спектр с учетом непараболичности для электронов:

$$\hbar^2\gamma^2(k_c^2 + q^2) = \frac{E(E + E_g)(E + E_g + 3\delta)}{E + E_g + 2\delta}, \quad (2a)$$

Таблица 1. Значения энергии и квантованных компонент волновых векторов для различных уровней размерного квантования в гетероструктуре состава AlSb/InAs_{0.84}Sb_{0.16}/AlSb при ширине квантовой ямы $a = 10$ nm с учетом и без учета непараболичности энергетического спектра носителей заряда

Уровень размерного квантования	Без учета непараболичности		С учетом непараболичности	
	Квантованная компонента волнового вектора k , 10^6 cm^{-1}	Энергия уровня E , meV	Квантованная компонента волнового вектора k , 10^6 cm^{-1}	Энергия уровня E , meV
$c1$	2.78	163	2.56	101
$c2$	5.48	632	5.32	293
$c3$	7.45	1170	8.18	509
$hh1$	2.66	6	2.66	6
$hh2$	5.3	26	5.3	26
$lh1$	1.91	74	1.19	27

для легких дырок:

$$\hbar^2 \gamma^2 (k_c^2 + q^2) = \frac{E'_{lh}(E'_{lh} - E_g)(E'_{lh} - 3\delta)}{E'_{lh} - 2\delta}, \quad (2b)$$

где γ — кейновский матричный элемент размерности скорости, а $E'_{lh} = -E_g - E_{lh}$.

В табл. 1 приведены значения энергии и квантованных компонент волновых векторов, полученные без учета и с учетом непараболичности для ширины квантовой ямы $a = 100$ nm. Видно, что учет непараболичности энергетического спектра электронов при расчете положения уровней размерного квантования играет весьма существенную роль.

Зависимость коэффициента поглощения от частоты оптического перехода $\alpha(\omega)$ можно найти из следующего выражения [6]:

$$\alpha(\omega) = \sum_{i,j} \frac{4\pi}{\sqrt{\kappa_0}} \frac{e^2}{\hbar c} \frac{1}{a\hbar\omega} \int q dq P_{ij}^2 \delta(E_i(q) - E_j(q) - \hbar\omega), \quad (3)$$

где индексы i, j относятся к различным подзонам в зоне проводимости и в валентной зоне соответственно, κ_0 — статическая диэлектрическая

проницаемость, $P_{ij}^2 = 2|P_{ij}^x|^2 + |P_{ij}^{\parallel}|^2$, а матричный элемент P_{ij} в четырехзонной модели Кейна имеет вид:

$$P_{ij} = i\hbar\gamma \int (\bar{\Psi}_{si}\Psi_j + \bar{\Psi}_i\Psi_{sj})dx. \quad (4)$$

Используя свойства дельта-функции, выражение для коэффициента поглощения можно привести к следующему виду:

$$\alpha(\omega)_{ij} = \frac{2\pi}{\sqrt{\kappa_0}} \frac{e^2}{\hbar c} \frac{1}{a\hbar\omega} P_{ij}^2(E_i) \frac{dq^2(E_i)}{dE_i}, \quad (5)$$

где $E_i = \hbar\omega - E_g - E'_j$, а производная равна:

$$\frac{dq^2(E_i)}{dE_i} = \frac{1}{\hbar^2\gamma^2} \left(2E_i + E_g - \frac{2\delta^2(E_g + 2\delta)}{(E_i + E_g + 2\delta)^2} \right) \quad (6a)$$

с учетом непараболичности,

$$\frac{dq^2(E_i)}{dE_i} = \frac{2m_c}{\hbar^2} \quad (6b)$$

без учета непараболичности.

Для переходов $c1-hh1$ и $c2-hh1$ выражение для величины P_{ij}^2 будет иметь вид:

$$|P_{c1hh1}|^2 = 2\hbar^2\gamma^2 A_1^2 H_1^2 k_{h1}^2 M I_{c1hh1}^2, \quad (7a)$$

$$|P_{c2hh1}|^2 = 3\hbar^2\gamma^2 A_2^2 H_1^2 q^2 M I I_{c2hh1}^2, \quad (7b)$$

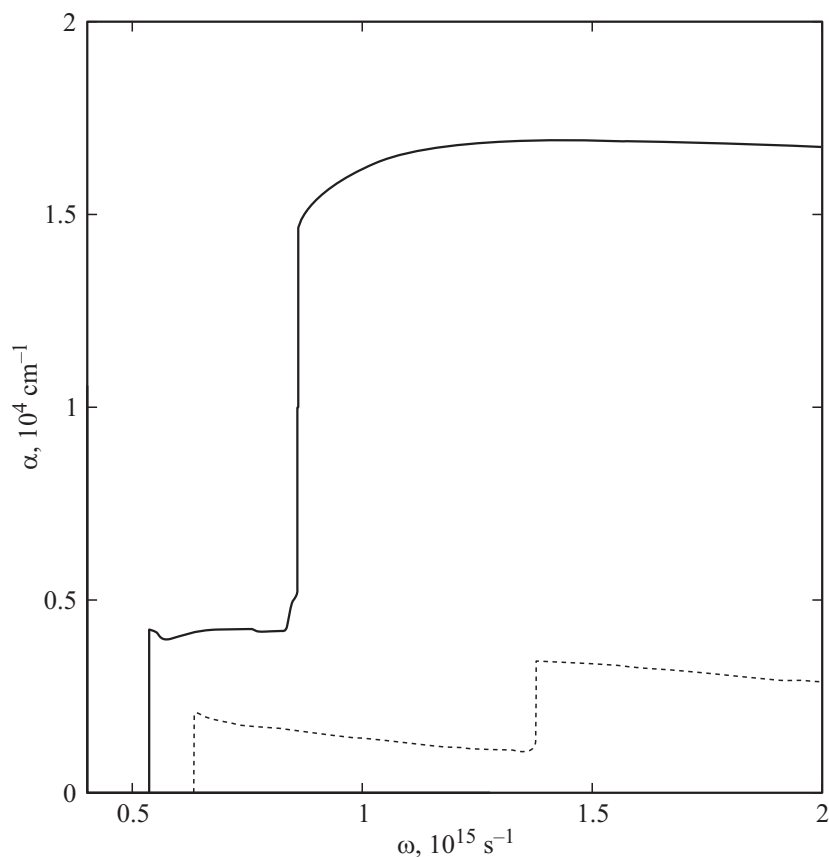
здесь A_1, A_2, H_1 — нормировочные коэффициенты, а величины

$$M I_{ij} = \frac{\sin((k_i + k_j) \frac{a}{2})}{k_i + k_j} + \frac{\sin((k_i - k_j) \frac{a}{2})}{k_i - k_j}$$

и

$$M I I_{ij} = \frac{\sin((k_i + k_j) \frac{a}{2})}{k_i + k_j} - \frac{\sin((k_i - k_j) \frac{a}{2})}{k_i - k_j}$$

пропорциональны интегралам перекрытия волновых функций носителей заряда, для большинства переходов учет непараболичности энергетического спектра носителей заряда приводит к незначительному увеличению значений величин $M I_{ij}^2$ и $M I I_{ij}^2$.



Зависимость суммарного коэффициента поглощения от частоты оптического перехода при ширине квантовой ямы $a = 100 \text{ \AA}$, рассчитанная в рамках модели параболического спектра (пунктирная линия) и в рамках четырехзонной модели Кейна (сплошная линия).

На рисунке представлены на одном графике зависимости суммарного коэффициента поглощения от частоты для обоих приближений. Видно, что учет непараболичности приводит к увеличению коэффициента поглощения в несколько раз за счет увеличения величины $\frac{dq^2(E_i)}{dE_i}$,

Таблица 2. Время излучательной рекомбинации τ_{phij} для различных оптических переходов в гетероструктуре AlSb/InAs_{0.84}Sb_{0.16}/AlSb для случая невырожденных электронов и для случая сильного вырождения ($n = 5 \cdot 10^{12} \text{ cm}^{-2}$)

Переход	Без учета непараболичности		С учетом непараболичности	
	случай невырожденных электронов τ_{phij}, c	случай сильного вырождения τ_{phij}, c	случай невырожденных электронов τ_{phij}, c	случай сильного вырождения τ_{phij}, c
<i>c1-hh1</i>	$9 \cdot 10^{-9}$	$8 \cdot 10^{-9}$	$1.2 \cdot 10^{-8}$	$1.5 \cdot 10^{-8}$
<i>c2-hh1</i>	$3 \cdot 10^{-8}$		$2 \cdot 10^{-8}$	
<i>c3-hh1</i>	$4 \cdot 10^{-7}$		$1.003 \cdot 10^{-3}$	
<i>c1-hh2</i>	$5 \cdot 10^{-7}$	$3 \cdot 10^{-8}$	$2 \cdot 10^{-7}$	$7 \cdot 10^{-8}$
<i>c2-hh2</i>	$5 \cdot 10^{-9}$		$1.01 \cdot 10^{-8}$	
<i>c1-lh1</i>	$3 \cdot 10^{-6}$	$4 \cdot 10^{-7}$	$5 \cdot 10^{-7}$	$1.1 \cdot 10^{-7}$
<i>c2-lh2</i>	$3 \cdot 10^{-6}$		$3 \cdot 10^{-6}$	

которая представляет собой (с точностью до постоянного множителя) двумерную плотность состояний в зоне проводимости.

Скорость излучательной рекомбинации в квантовых ямах можно рассчитать по формуле [6]:

$$R_{ph} = \frac{4\kappa_{\infty}}{\pi\sqrt{\kappa_0}} \frac{e^2}{\hbar c} \frac{1}{\hbar^3 c^2} \sum_{ij} \int q dq |P_{ij}|^2 f_i(q) f_j(q) (E_i(q) - E_j(q)). \quad (8)$$

Здесь κ_{∞} — высокочастотная диэлектрическая проницаемость, f_i, f_j — функции распределения носителей.

Для невырожденных электронов за характерное значение q удобно взять значение $q_T \approx \frac{\sqrt{2k_B T m_c}}{\hbar}$, где T — абсолютная температура. Так как

$$\int q dq f_i(q) f_j(q) \approx \pi \frac{n_i p}{N_v} \exp\left(-\frac{\varepsilon_j}{k_B T}\right),$$

где $N_v = \frac{m_c k_B T}{\pi \hbar^2}$ — эффективная плотность состояний в валентной зоне, n, p — двумерные концентрации электронов и дырок, ε_j — расстояние между потолком j -й подзоны размерного квантования и

потолком основной подзоны тяжелых дырок, то скорость излучательной рекомбинации будет равна:

$$R_{ph} = \frac{4\kappa_{\infty}}{\sqrt{\kappa_0}} \frac{e^2}{\hbar c} \frac{1}{\hbar^3 c^2} \times \sum_{ij} |P_{ij}(q_T)|^2 (E_i(q_T) - E_j(q_T)) \frac{n_i p}{N_v} \exp\left(-\frac{\varepsilon_j}{k_B T}\right). \quad (9)$$

Для невырожденных носителей время излучательной рекомбинации для каждого отдельного перехода будет иметь вид:

$$\tau_{phij} = \frac{n_i}{R_{ij}} = \frac{\sqrt{\kappa_0}}{4\pi\kappa_{\infty}} \frac{\hbar c}{e^2} \frac{\hbar c^2 m_h k_B T}{p |P_{ij}(q_T)|^2 (E_i(q_T) - E_j(q_T))} \exp\left(\frac{\varepsilon_j}{k_B T}\right). \quad (10)$$

В случае, когда электроны вырождены, в формулу (10) вместо q_T нужно подставить q_F .

В табл. 2 представлены результаты расчетов времени излучательной рекомбинации для $a = 10$ nm при температуре $T = 300$ K и концентрации дырок $p = 10^{12}$ cm⁻². Видно, что для случая невырожденных электронов учет непараболичности приводит к увеличению времени излучательной рекомбинации для переходов с совпадающей четностью начального и конечного состояний и к уменьшению, если четности начального и конечного состояния различны.

Таким образом, в данной работе показано, что в гетероструктурах с глубокими квантовыми ямами непараболичность энергетического спектра носителей заряда существенно влияет на положение уровней энергии размерного квантования и приводит к значительному росту коэффициента поглощения излучения, особенно для оптических переходов с участием высокоэнергетичных электронов.

Список литературы

- [1] Zegrya G.G. Mid-Infrared Strained Diode Lasers. // Antimonide-Related Strained-Layer Heterostructures / Ed. by M.O. Manasreh. Amsterdam: Gordon and Breach Science Publishers, 1997. P. 273.

-
- [2] *Mikhailova M.P., Danilov L.V., Kalinina K.V., Ivanov E.V., Stoyanov N.D., Zegrya G.G., Yakovlev Y.P., Hospodkova A., Pangrac J., Zikova M., Hulicius E.* Superlinear Luminescence and Enhancement of Optical Power in GaSb-based Heterostructures with High Conduction-Band Offsets and Nanostructures with Deep Quantum Wells // *The Wonder of Nanotechnology: Quantum Optoelectronic Devices and Applications* / Ed. by M. Razeghi, L. Esaki, K. von Klitzing. Bellingham, WA: SPIE Press, 2013. P. 105.
- [3] *Vurgaftman I., Meyer J.R., Ram-Mohan L.R.* // *J. Appl. Phys.* 2001. V. 89. P. 5815.
- [4] *Cripps S.A.* et al. // *Appl. Phys. Lett.* 2007. V. 90. P. 1721.
- [5] *Asryan L.V., Gun'ko N.A., Polkovnikov A.S., Zegrya G.G., Suris R.A., Lau P.-K., Makino T.* // *Semicond. Sci. Technol.* 2000. V. 15. P. 1132.
- [6] *Зегря Г.Г., Полковников А.С.* // *ЖЭТФ.* 1998. V. 113. P. 1491.